

MIMの3次元化に向けてーその1

岩崎俊樹

東北大学大学院・理学研究科

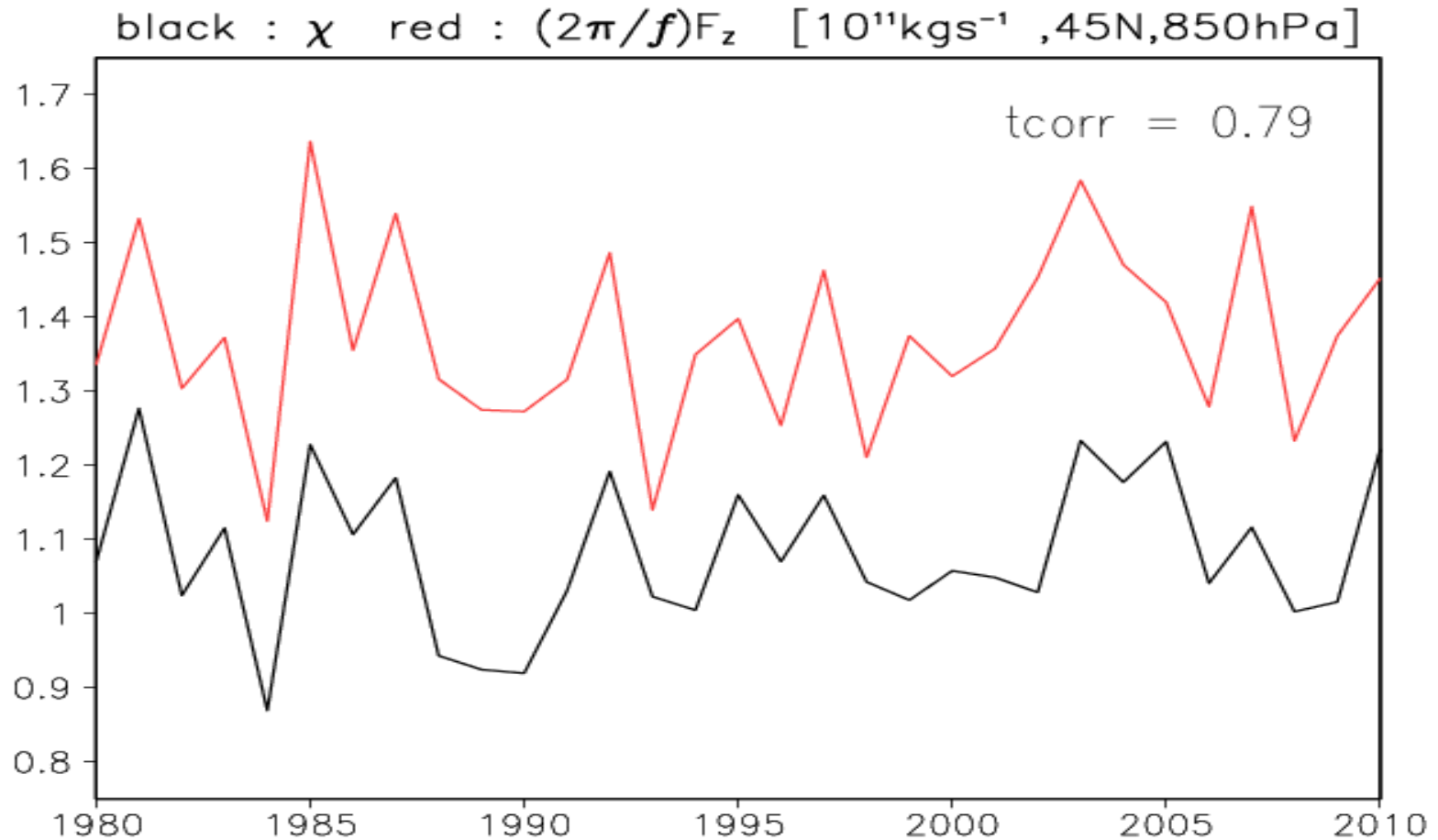
1. ねらい
2. 3次元EP-flux ? と Wave-Activity Flux
3. エネルギー変換と傾圧不安定:2次元の場合のレッスン

1. ねらい

加重付時間平均に基づく平均流 - 波の相互作用の解析

- (1) 3次元B-D循環(加重付時間平均流の3次元構造)
- (2) 下層の寒気流出に伴う波動の励起
- (3) $K_M \rightarrow W$ のエネルギー変換とストームトラック
- (4) エネルギー変換ダイアグラム

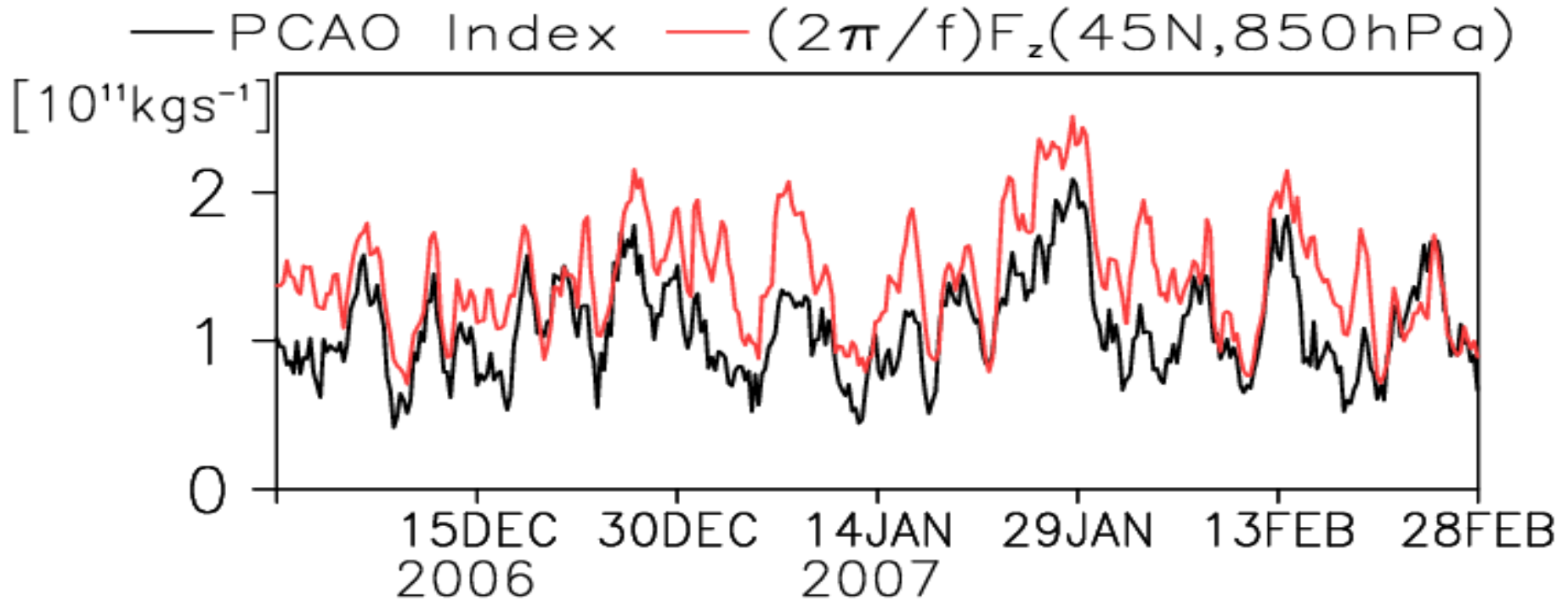
Interannual variability of January mean PCAO and vertical EP flux



PCAO is driven by vertical divergence of EP flux,
But it is about 20% smaller than expected from EP flux.

4. Short-term variability

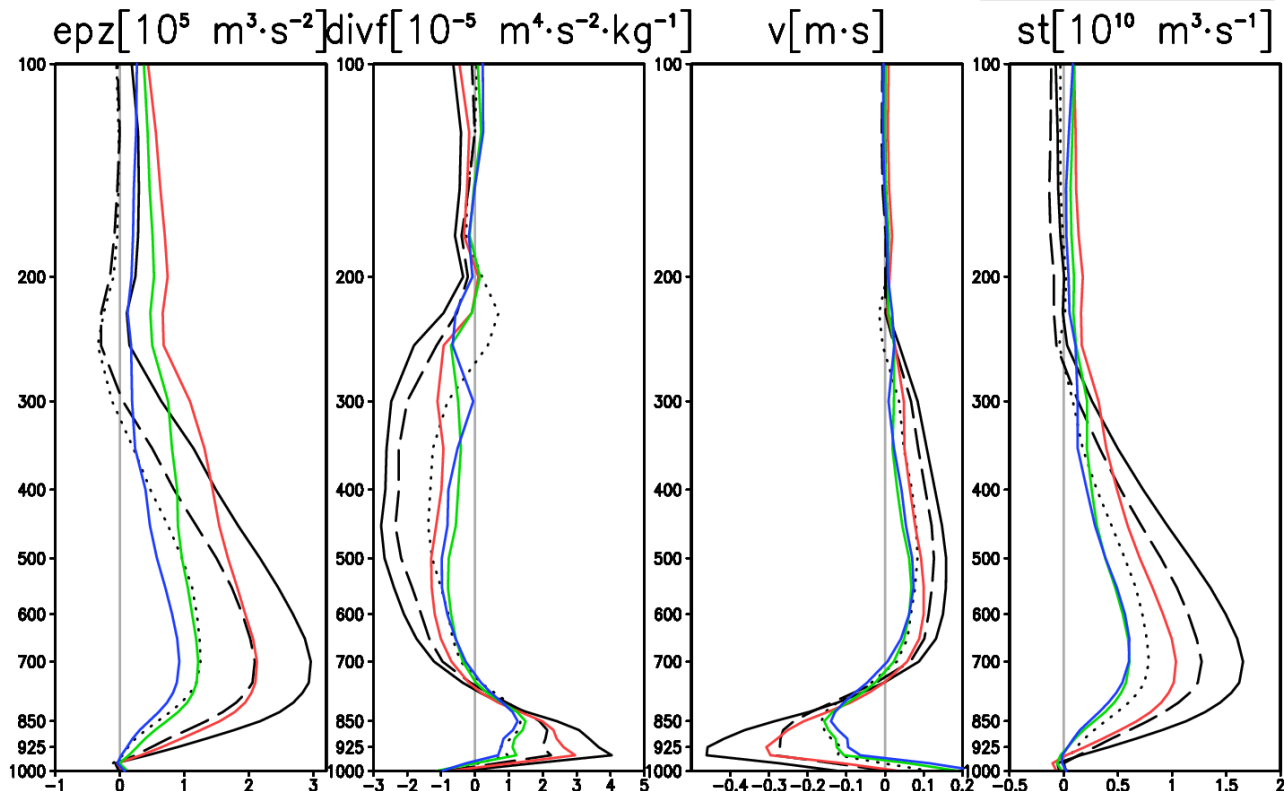
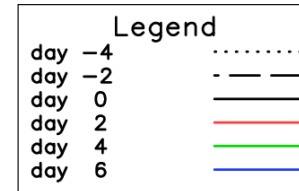
Sequence of PCAO and vertical EP flux



Short-term events are also under the control of wave-mean flow interactions

Lagged regression coefficients of E-P flux and related parameters to EA-PCAO Index (normalized by reference density, except for v^*)

Lag-regression against flux(45N,90E-180E,PT=280K)
EPz, divF, st are normalized



2. 3次元EP-flux ? と Wave-Activity Flux

質量加重付時間平均 $\overline{A^*} \equiv \frac{\overline{\sigma A}}{\overline{\sigma}}$ 偏差を $A' \equiv A - \overline{A^*}$

東西風の運動方程式の定常状態

$$\overline{u^*} \frac{\partial \overline{u^*}}{\partial x} + \overline{v^*} \frac{\partial \overline{u^*}}{\partial y} + \overline{\theta^*} \frac{\partial \overline{u^*}}{\partial \theta} = f \overline{v^*} + \frac{1}{\overline{\sigma}} \nabla \cdot \mathbf{F}$$

波動ストレスの東西成分

$$\mathbf{F} \equiv \left\{ -\overline{\sigma u'^2}^*, -\frac{p}{g} \frac{\partial \overline{\Phi}}{\partial \theta}, -\overline{\sigma u' v'}^*, -\overline{\sigma u' \theta'}^* + \frac{p}{g} \overline{\left(\frac{\partial \Phi}{\partial x} \right)_\theta} \right\}$$

南北風の運動方程式の定常状態

$$\overline{u^*} \frac{\partial \overline{v^*}}{\partial x} + \overline{v^*} \frac{\partial \overline{v^*}}{\partial y} + \overline{\theta^*} \frac{\partial \overline{v^*}}{\partial \theta} = -f \overline{u^*} + \frac{1}{\overline{\sigma}} \nabla \cdot \mathbf{G}$$

波動ストレスの南北成分

$$\mathbf{G} \equiv \left\{ -\overline{\sigma u' v'}^*, -\overline{\sigma v'^2}^* - \frac{p}{g} \frac{\partial \overline{\Phi}}{\partial \theta}, -\overline{\sigma v' \theta'}^* + \frac{p}{g} \overline{\left(\frac{\partial \Phi}{\partial y} \right)_\theta} \right\}$$

Wave Activity Flux

$$\frac{\partial}{\partial t} \overline{q'^2} + \overline{\mathbf{v} \cdot \nabla \cdot q'^2} + \overline{(q' \mathbf{v}') \cdot \nabla q'} = 0$$

$$\mathbf{F} \equiv \left\{ -\overline{\sigma v'^2} + e - \frac{p}{g} \frac{\partial \Phi}{\partial \theta}, \quad -\overline{\sigma u' v'}, \quad -\overline{\sigma u' \dot{\theta}'} + \frac{p}{g} \left(\frac{\partial \Phi}{\partial x} \right)_\theta \right\}$$

$$\mathbf{G} \equiv \left\{ -\overline{\sigma u' v'}, \quad -\overline{\sigma u'^2} + e - \frac{p}{g} \frac{\partial \Phi}{\partial \theta}, \quad -\overline{\sigma v' \dot{\theta}'} + \frac{p}{g} \left(\frac{\partial \Phi}{\partial y} \right)_\theta \right\}$$

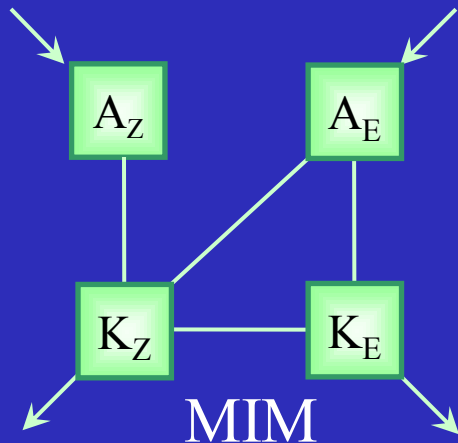
$$e \equiv \frac{\bar{\sigma}}{2} \left(\overline{u'^2} + \overline{v'^2} \right)$$

平均場の運動方程式へのアノマリーの寄与とPVアノマリー

3. エネルギー変換と傾圧不安定 2次元の場合のレッスン

質量加重付帯状平均

エネルギー変換



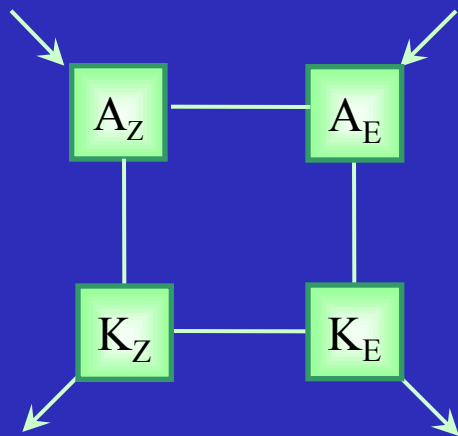
Iwasaki(2001)

A_Z : Mean Available Potential Energy

K_Z : Mean Kinetic Energy

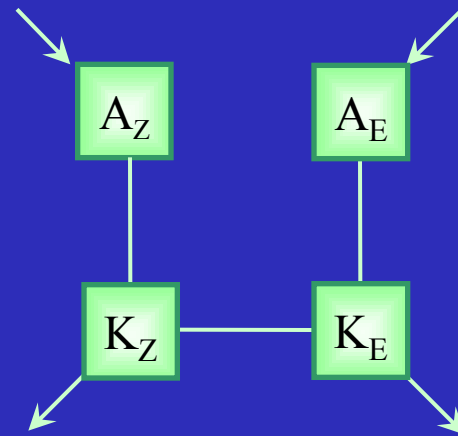
A_E : Eddy Available Potential Energy

K_E : Eddy Kinetic Energy



Eulerian Mean

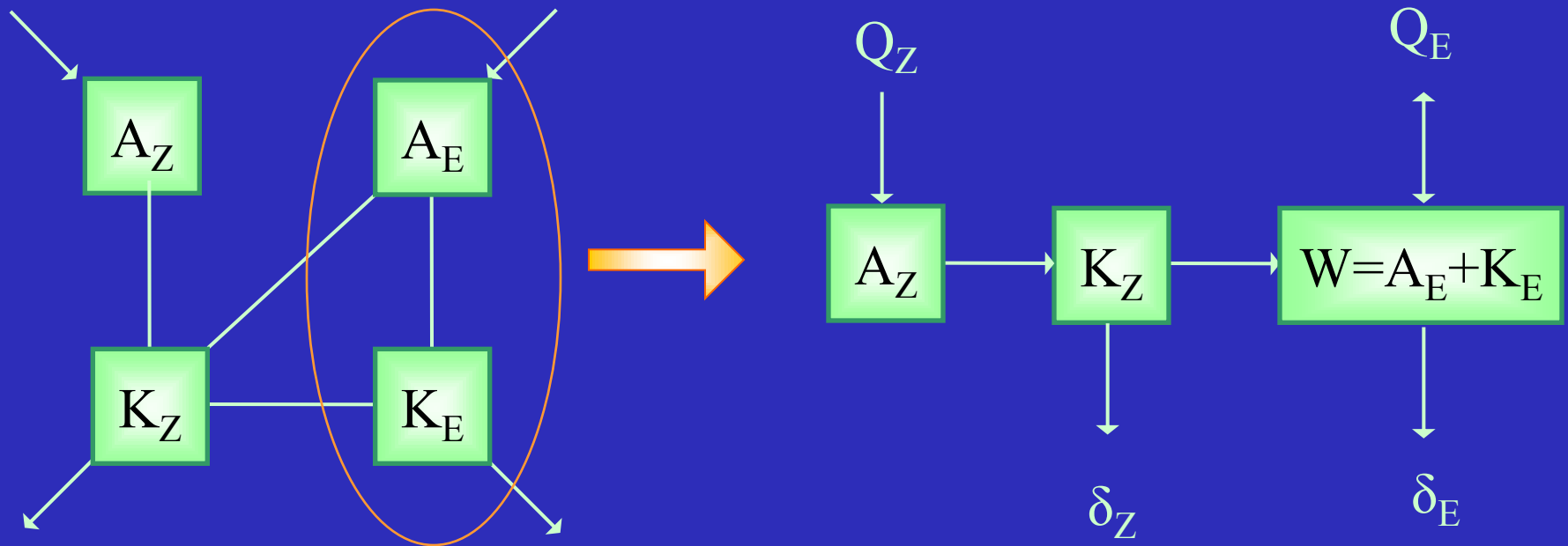
Lorenz(1955)



TEM system

Plumb(1983), Kanzawa(1984)

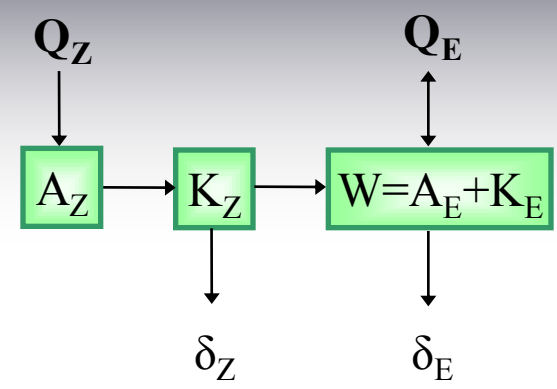
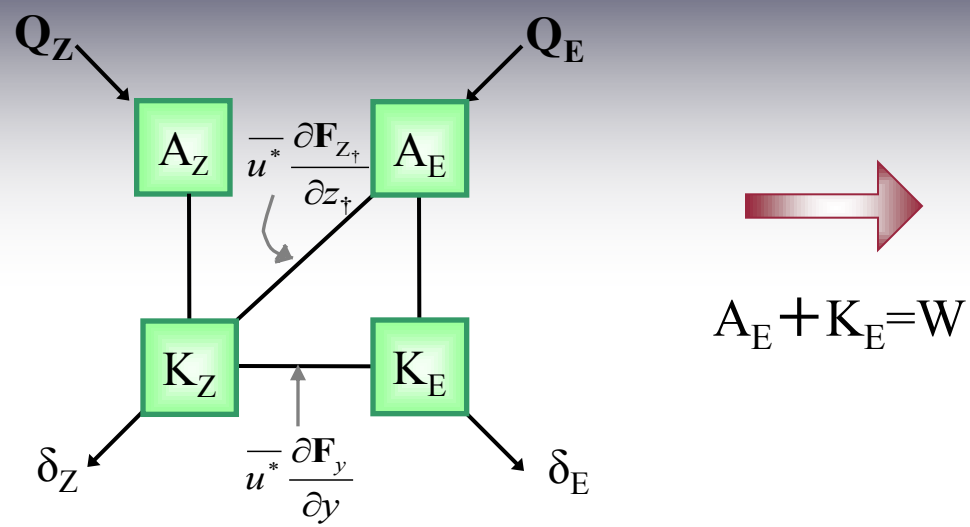
Energy Conversion Cycle in MIM



《 A_E と K_E をまとめて波動エネルギー W と考える理由》

- $A_E \leftrightarrow K_E$ 間の変換は相互に波動活動として不断に起きている。
- 分離した場合、EP fluxの屈折が $P_E \Rightarrow K_Z$ 、 $K_Z \Rightarrow K_E$ の2つのエネルギー変換にカウントされるため、波動の伝播という概念に適さない。

p_{\dagger} 方程式系の説明 ～エネルギーサイクルの変形～



F : EP flux
 (波動の運ぶ運動量)
 $\nabla \cdot \mathbf{F}$: 波動の生成・消滅に伴う
 平均東西風の加速・減速
 $\overline{u^*} \nabla \cdot \mathbf{F}$: 波動平均流相互作用に伴う
 平均エネルギーの変化
 \Rightarrow 波動エネルギーの生成・消滅

$$C(A_Z, K_Z) = - \left\langle \overline{v^*} \left(\frac{\partial \Phi_{\dagger}}{\partial y} \right)_{p_{\dagger}} \right\rangle$$

子午面流による変換

$$C(K_Z, W) = - \left\langle \overline{u^* \nabla \cdot \mathbf{F}} \right\rangle + \varepsilon$$

波動平均流相互作用

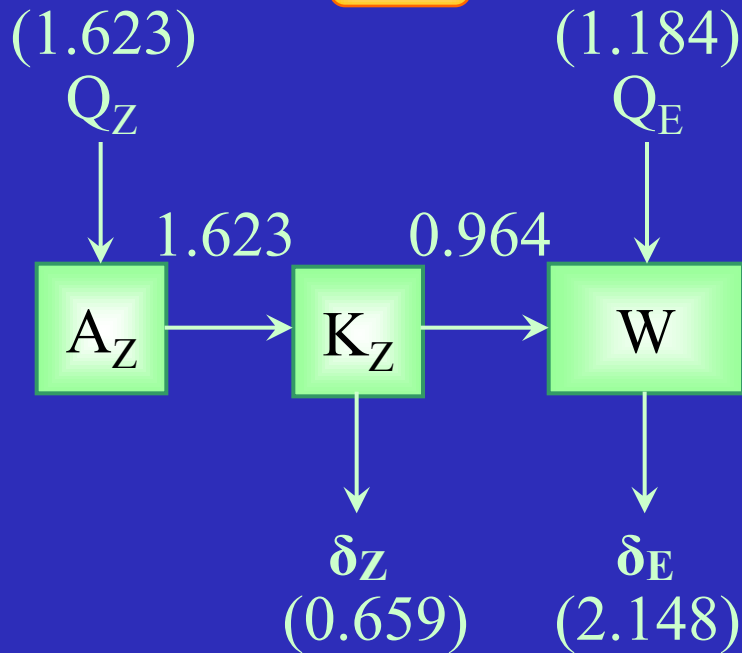
$$\varepsilon = \left\langle \overline{v^* \left[\left(\frac{\partial \Phi}{\partial y} \right)_p^* - \left(\frac{\partial \Phi_{\dagger}}{\partial y} \right)_{p_{\dagger}} \right]} \right\rangle + \dots$$

南北方向の渦による仕事

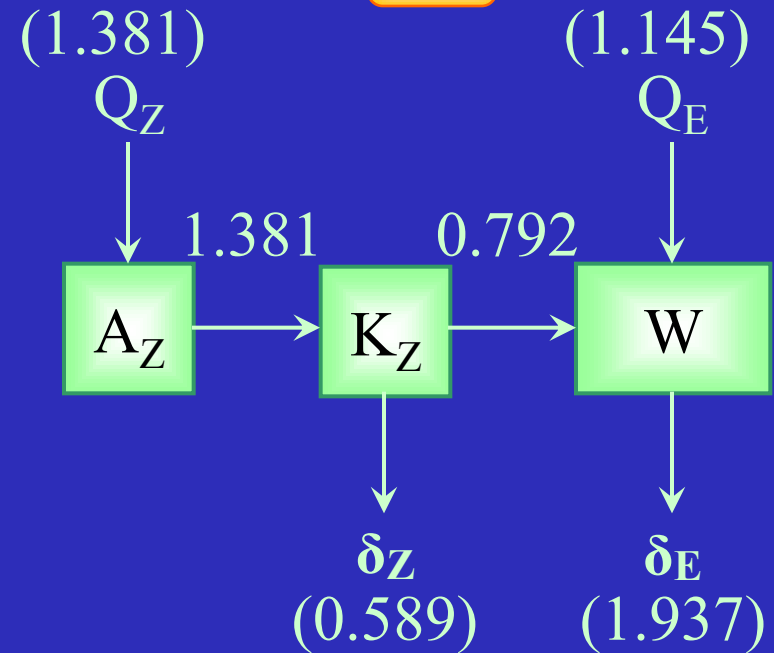
Globally averaged energy conversion rates

[W/m²]

DJF

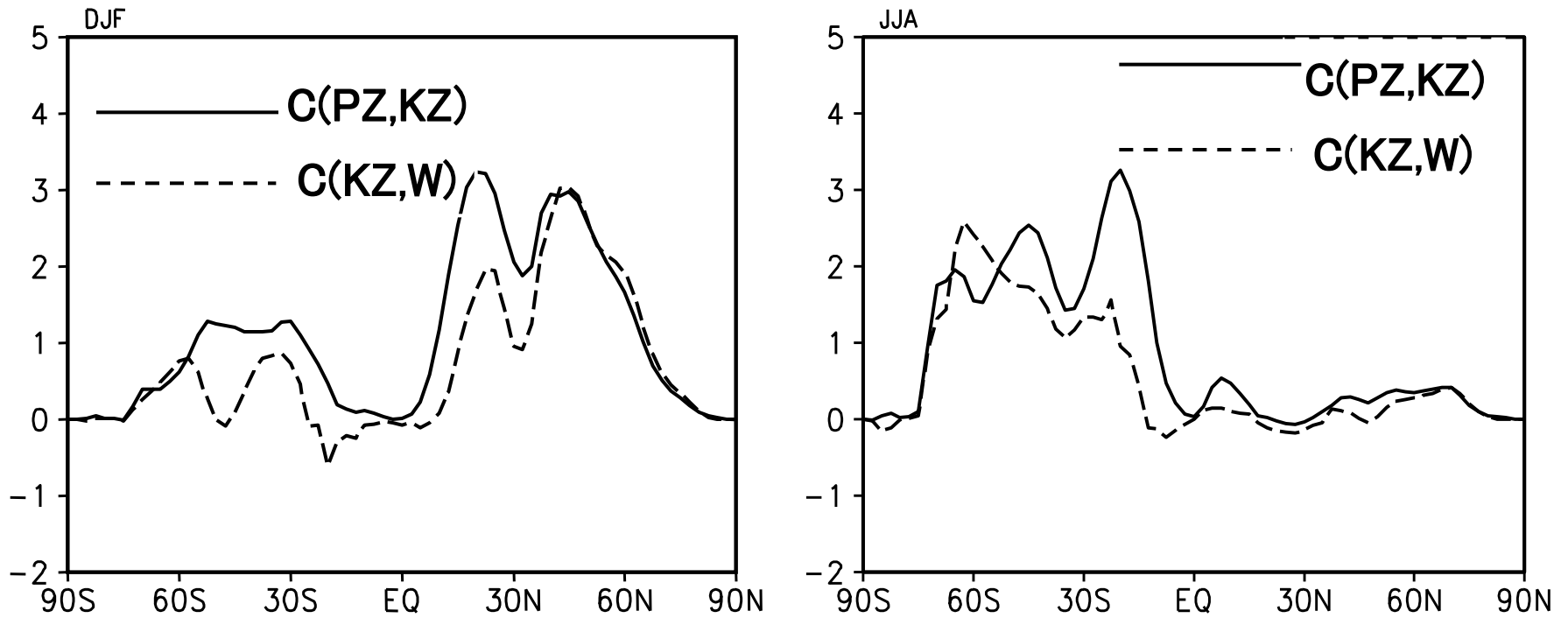


JJA



1. 非断熱加熱によって A_Z が生成
2. 直接s子午面循環によって K_Z に変換
3. この K_Z のうち6割程度は W へ変換、残りの4割は摩擦により散逸
4. W は K_Z からの変換と東西方向に不均一な非断熱加熱により生成
5. 最終的に、 W は傾圧不安定波等の波動活動に伴う摩擦の影響で大きな散逸

Latitudinal distributions of C(PZ,KZ) v.s. C(KZ,W)



At low latitudes, C(KZ,W) is smaller than C(PZ,KZ).

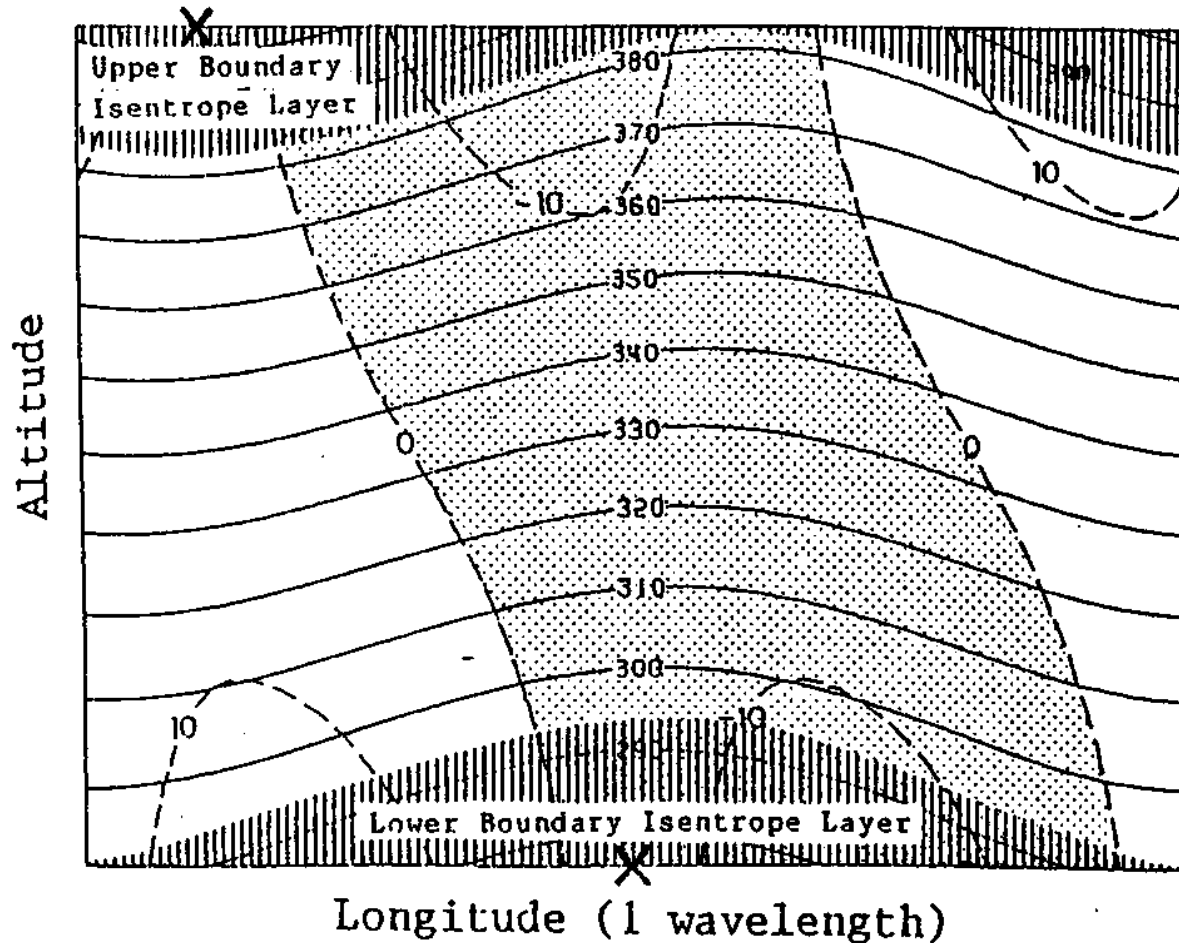
→ A part of KZ is dissipated in Hadley circulation.

At mid-latitudes, C(KZ,W) is almost equal to C(PZ,KZ).

$$C(P_Z, K_Z) = -\frac{\overline{v^*}}{a} \left(\frac{\partial \Phi_{\dagger}}{\partial \phi} \right)_{p_{\dagger}} \approx -\frac{\overline{u^*}}{a \rho_0 \cos \phi} \nabla \cdot \mathbf{F}$$

$$= C(K_Z, W)$$

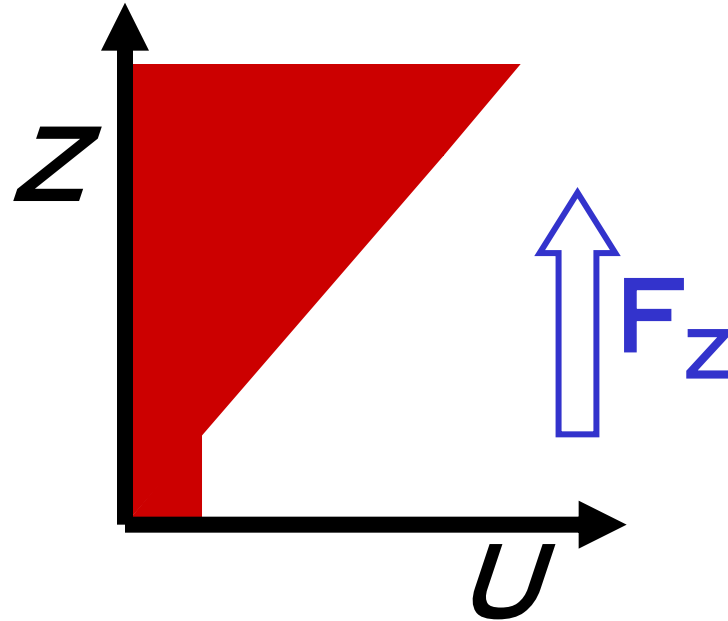
Longitudinal structure of linear Eady mode



傾圧不安定波動はE-Pフラックスが西向き運動量を上方に伝播する。

温位面が地面と交差するときに南北平均流が南向き(寒気の南下)となる

傾圧不安定(Eady Modeの場合)



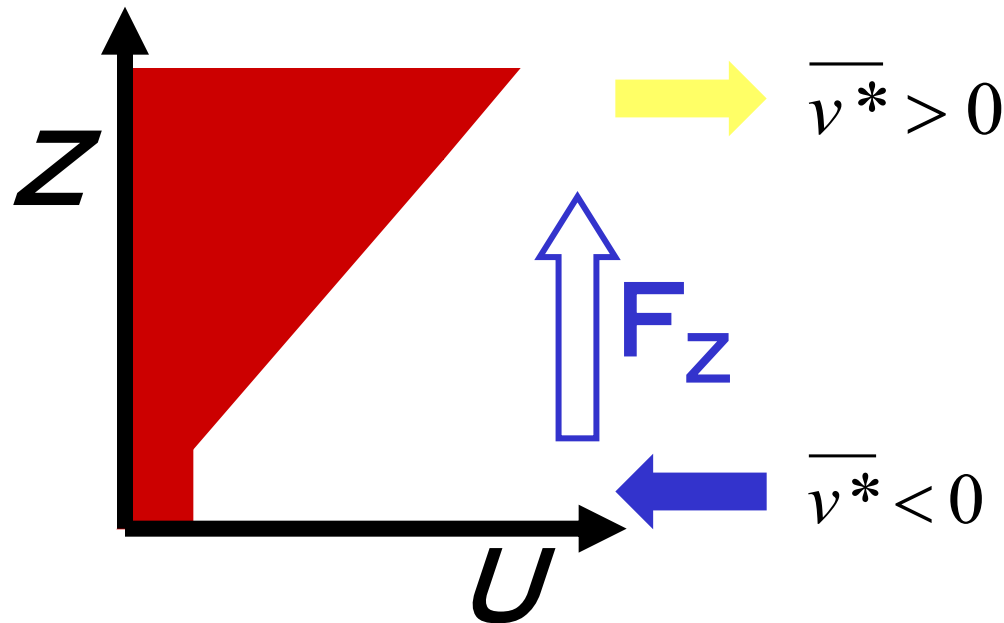
EP flux が西向き運動量を下端より上端へ運ぶ。

$\nabla \cdot \mathbf{F}$ により、下端で西風加速、上端で西風減速が起こる。

$C(K_z, W) = -\langle \overline{u^* \nabla \cdot \mathbf{F}} \rangle$ で、平均東西風の運動エネルギーが減少する。

減少した平均東西風の運動エネルギーは波動エネルギーに変わる。

傾圧不安定(Eady Modeの場合)

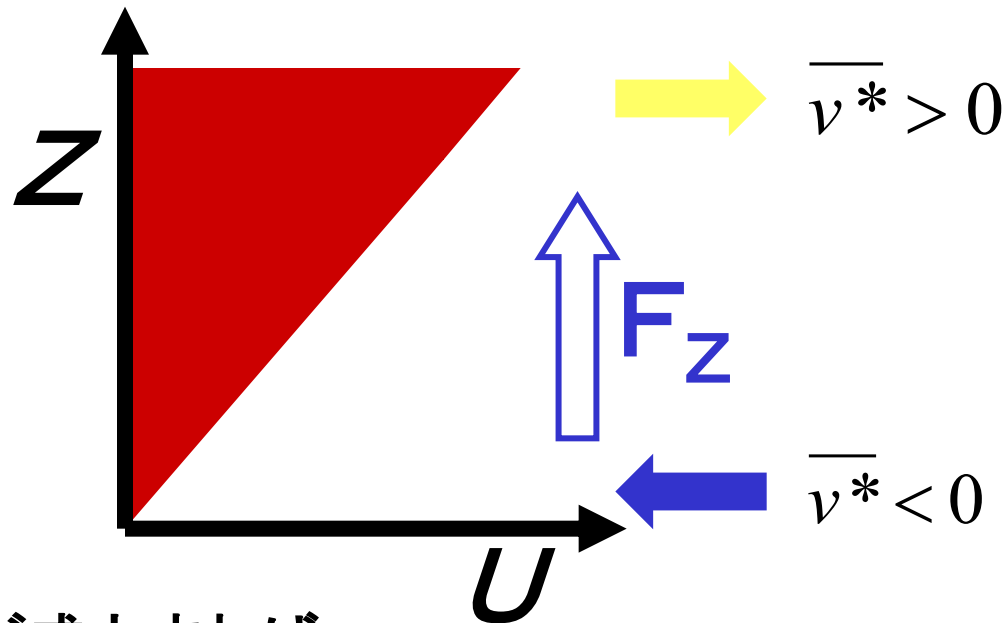


$\overline{v^*} \approx -\frac{\nabla \cdot \mathbf{F}}{f}$ により、直接循環(上端で極向き、下端で赤道向き)を誘起。

コリオリ加速によって、西風が上端で加速、下端で減速する。

$$C(A_z, K_z) = - \left\langle \overline{v^*} \left(\frac{\partial \Phi_{\dagger}}{\partial y} \right)_{p_{\dagger}} \right\rangle \quad \text{直接循環により位置エネルギーが減少する。}$$

傾圧不安定(Eady Modeの場合)



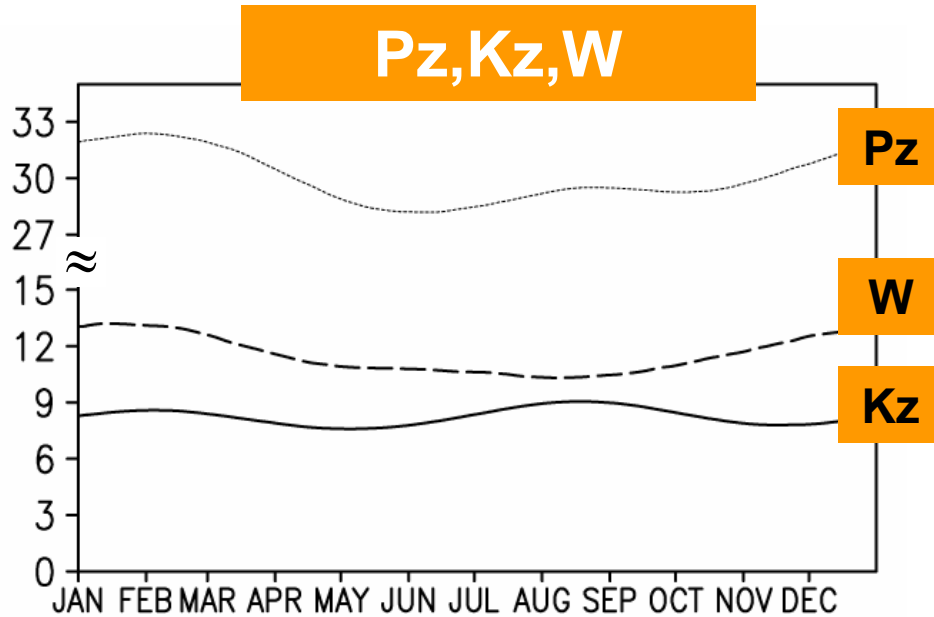
地衡風平衡が成立すれば

$$C(A_Z, K_Z) = -\overline{v^*} \left(\frac{\partial \Phi_{\dagger}}{\partial y} \right)_{p_{\dagger}} \approx -\overline{u^*} \nabla \cdot \mathbf{F} = C(K_Z, W)$$

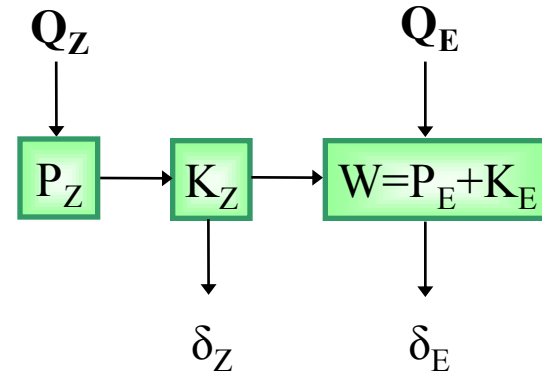
平均場の有効位置エネルギー A_Z が
東西風の運動エネルギー K_Z を介して
波動エネルギー($W = P_E + K_E$)に変換される。

Seasonality of energies, P_z , K_z and W .

10^5J/m^2



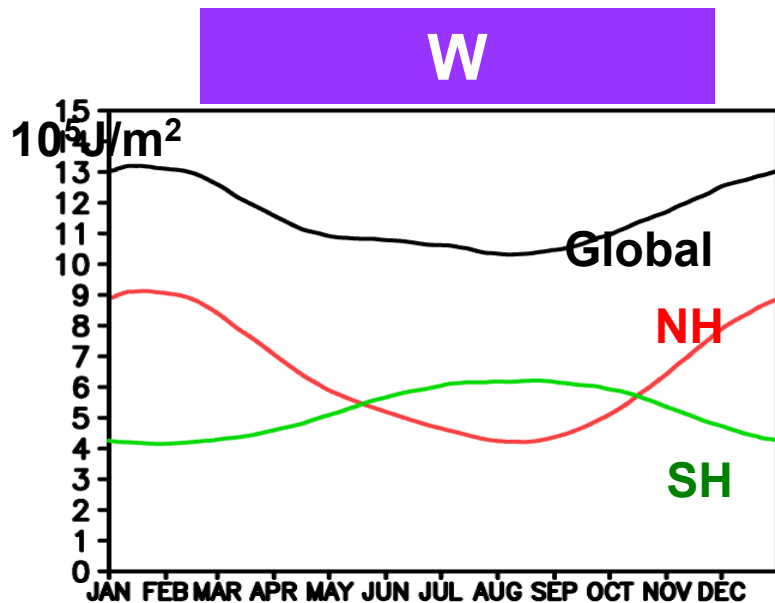
* NCEP/NCAR (20years mean)



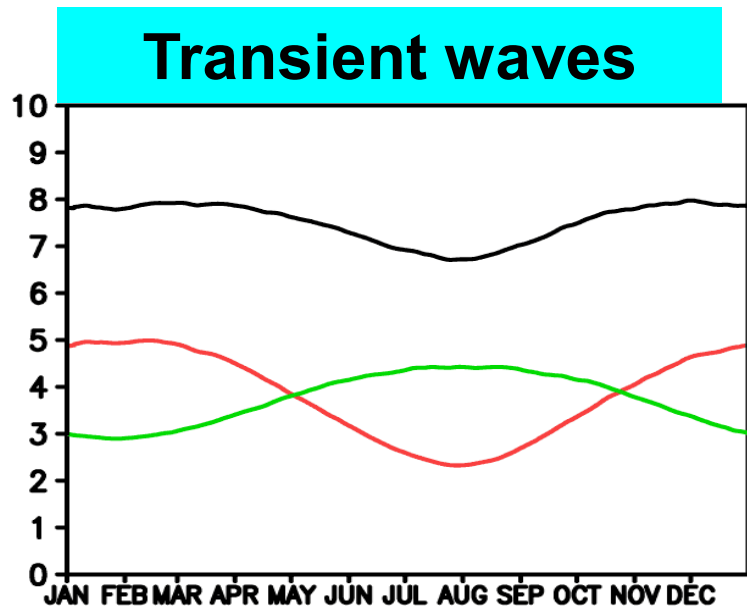
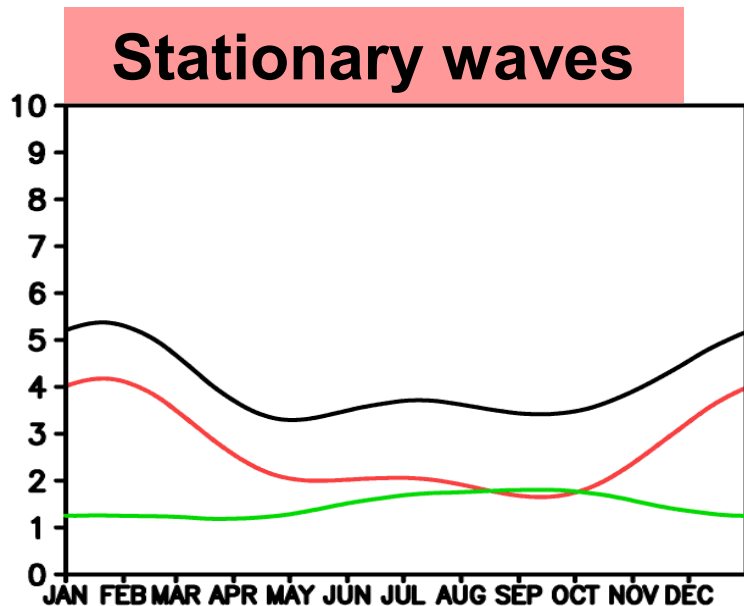
Why is wave energy maximal in the NH winter?

望月君:修論

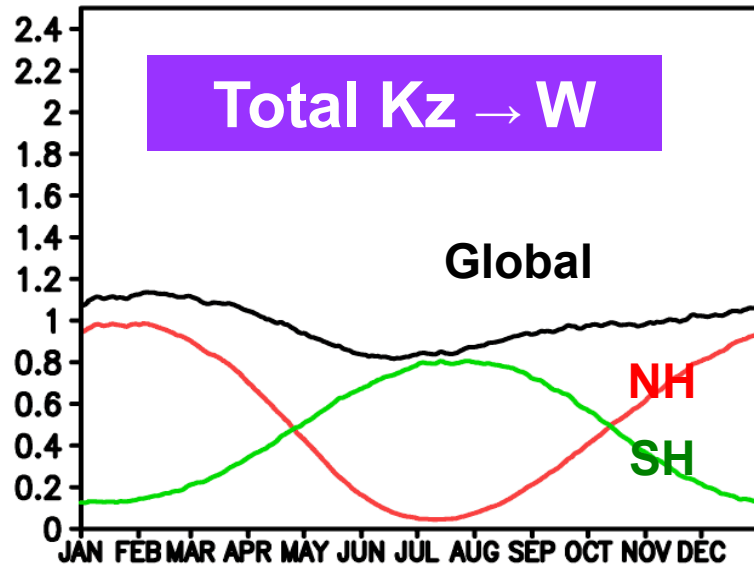
Seasonal variation of wave energy



NH wave energy in the NH winter is 50% greater than in SH winter.

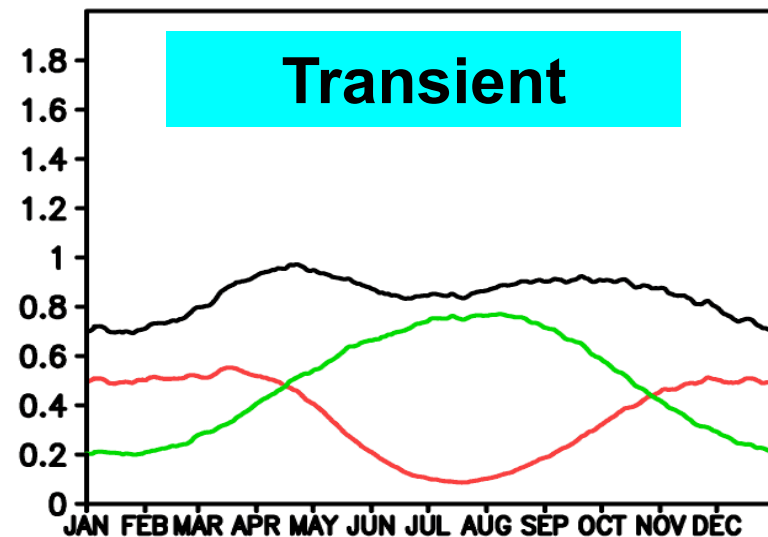
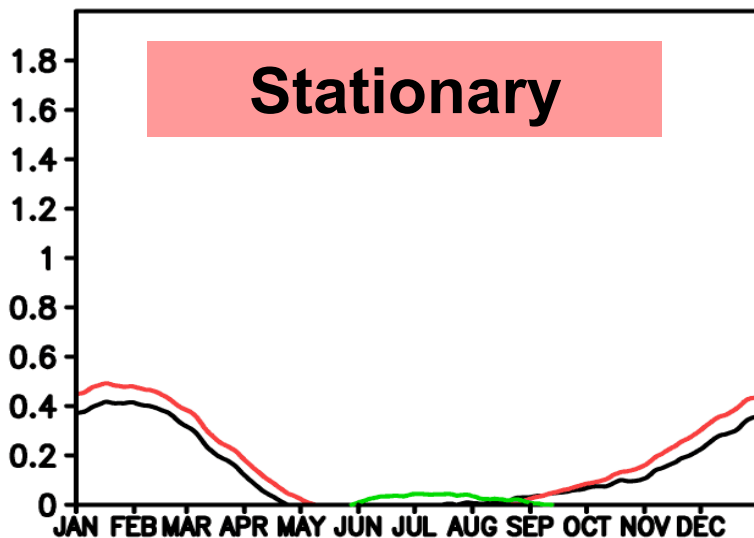


Dynamical Wave Energy Generation Rate (Kz-W) (W/m^2)



C(Kz,W)

- Wave energy generation rate is 20% greater in NH winter than in SH winter.
- St. waves are generated in NH winter only.
- Tr. waves in SH winter are generated slightly greater than in NH winter.



局所的なエネルギー変換(帯状平均の場合)

帯状平均運動エネルギーが失われる場所と波動エネルギーの失われる場所は異なる。(Iwasaki & Kodama, 2011)

$$\begin{aligned} -\overline{u^* \nabla \cdot \mathbf{F}} &= -\frac{\partial}{\partial y} \overline{u^* F_y} + \frac{\partial}{\partial z_{\dagger}} \overline{\frac{p}{g} \left(\frac{\partial \Phi}{\partial t} \right)_{z_{\dagger}}} + F_y \frac{\partial \overline{u^*}}{\partial y} - \frac{\partial}{\partial z_{\dagger}} \overline{\frac{p}{g} \left(\frac{\partial \Phi}{\partial t} \right)_{z_{\dagger}}} - \overline{u^*} \frac{\partial}{\partial z_{\dagger}} \overline{\frac{p}{g} \left(\frac{\partial \Phi}{\partial x} \right)_{z_{\dagger}}} \\ &\approx -\frac{\partial}{\partial y} \overline{u^* F_y} + \frac{\partial}{\partial z_{\dagger}} \overline{\frac{p}{g} \left(\frac{\partial \Phi}{\partial t} \right)_{z_{\dagger}}} + F_y \frac{\partial \overline{u^*}}{\partial y} + \left(c_x - \overline{u^*} \right) \frac{\partial F_{z_{\dagger}}}{\partial z_{\dagger}} \end{aligned}$$

失われる帯状平均運動エネルギーはガリレイ変換に対して不変ではないが、作られる波動エネルギーは不変である。

帯状平均に基づくエネルギー変換は、時間変化は分かるが、緯度高度分布しか特定できない(経度分布は分からない)。

ストームトラックを描くためには、3次元表示が必要。

4. エネルギー変換と傾圧不安定 3次元の場合の問題点

質量加重付時間平均

局所的なエネルギー変換(時間平均の場合)

$$C_{KW}(K) \equiv -\overline{u'^* \nabla \cdot \mathbf{F}} - \overline{v'^* \nabla \cdot \mathbf{G}}$$

$$= -\overline{u'^* \frac{\partial u'^{2*}}{\partial x}} - \overline{v'^* \frac{\partial v'^{2*}}{\partial y}} - \overline{\mathbf{v}'^* \cdot \nabla \left(\frac{p''}{g} \frac{\partial \Phi''}{\partial \theta} \right)} - \overline{u'^* \frac{\partial}{\partial y} (\overline{u'v'})^*} - \overline{v'^* \frac{\partial}{\partial x} (\overline{u'v'})^*} - \overline{\mathbf{v}'^* \cdot \frac{\partial}{\partial z_{\dagger}} \frac{p''}{g} \nabla \Phi''}$$

$$C_{KW}(W) \equiv -\overline{u'^{2*} \frac{\partial u'^*}{\partial x}} - \overline{v'^{2*} \frac{\partial v'^*}{\partial y}} - \frac{\partial}{\partial t} \left(\overline{\frac{p''}{g} \frac{\partial \Phi''}{\partial \theta}} \right) - \overline{\mathbf{v}'^* \cdot \nabla \left(\frac{p''}{g} \frac{\partial \Phi''}{\partial \theta} \right)} - \overline{(\overline{u'v'})^* \nabla \cdot \sigma \mathbf{v}'^*}$$

$$C_{KW}(W) - \frac{\partial}{\partial z_{\dagger}} \overline{\frac{p''}{g} \frac{\partial \Phi''}{\partial t}} - \overline{\mathbf{v}'^* \cdot \frac{\partial}{\partial z_{\dagger}} \frac{p''}{g} \nabla \Phi''}$$

ストームトラックにおけるエネルギー変換(K→W)を評価)